



Study the formation of organo-mineral complexes in the southern Iraqi marshes soils using scanning electron microscopy and X-ray diffraction techniques

Hasaneen M. Mahmood¹, Abdulkareem Hasan Odhafa¹ and Hashim H. Kareem²

¹University of Wasit / College of agriculture / dept. Of soil science and water resources

²University of Misan / college of basic education /dept. Of geography

*Corresponding author e-mail: <https://orcid.org/0000-0002-2720-7381>

Abstract:

This study was conducted to ascertain the nature of the presence of organic-mineral complexes and their impact on the availability of some of the trace elements namely copper, iron and manganese in some of Iraq's southern marshlands. Six pedons were selected for sites for the marshland where the sites included Al-Ahrar. (Wasit governorate) represented by one soil Bedon in Hor al-Delmaj, ALmsharah (Misan Governorate) represented by two soil pedons , the first is located in Hur Al-Azim 1, the second in Hur Al-Sanaf, and the Al-Kahla (Misan governorate) Represented by one pedon soil located within Hor Umm Na 'aj, and two pedons in AL Kalaat Saleh(Misan governorate) the first is located in Hor Al-Taraba and the second pedon is located in Hor Al-Sodda. The pedons were numbered from 1-6. According to the above sequence, some of the physical and chemical properties of the soil samples of the six pedons were determined. The x-ray diffraction technique was used to examine selected models of studied pedons that included a sample of a surface horizon and a sample of a subsurface horizon. The results showed the appearance of a set of peaks reflecting the proportions of the presence of clay minerals in studied pedons. Biotite mineral appeared at 4.8-5 Å in all pedons. The results of prevalent X-ray examinations included some regular interstratified minerals. The regular interstratified mineral appeared Mica-Smectite at 12 Å as well as regular interstratified Mica-Chlorite. The variability in the values of the peaks between the studied samples was reflected in the minerals to different degrees of weathering. Use the scanning electron microscope to examine selected samples of clay separated particles for some horizons of studied pedon soil.

Keywords: organo-mineral complexes, marshes soils, scanning electron microscopy, X-ray diffraction

دراسة تكوين المعقّدات العضوية - المعدنية في ترب اهوار جنوب العراق باستخدام تقنية المجهر الالكتروني
والأشعة السينية الحادّة

حسنين محمد محمود¹ عبد الكريم حسن عذافة¹ هاشم حنين كريم²

جامعة واسط / كلية الزراعة / قسم علوم التربة والموارد المائية¹

جامعة ميسان / كلية التربية الأساسية / قسم الجغرافية²

الخلاصة

أجريت هذه الدراسة لمعرفة طبيعة تواجد المعدنات العضوية-المعدنية في بعض ترب الأهوار جنوب العراق. إذ اختيرت ستة بيدونات لموقع لتراب الأهوار حيث شملت الموقع ناحية الاحرار (محافظة واسط) متمثلة ببيدون تربة واحد في هور الدلمج ، وقضاء المشرح (محافظة ميسان) ممثلة ببيدوني تربة ، يقع الأول ضمن هور العظيم 1 ، والثاني في هور السناف ، وقضاء الكحاء (ميسان) ممثلة ببيدون تربة واحد يقع ضمن هور أم نعاج ، وقضاء قلعة صالح (محافظة ميسان) ممثلة ببيدوني تربة يقع الأول في هور الترابة ويقع البيدون الثاني في هور السودة ورقمت البيدونات من 1-6 وحسب تسلسلها الوارد أعلاه ، قدرت بعضًا من الخصائص الفيزيائية والكيميائية لعينات الترب في البيدونات الستة. استخدمت تقنية الأشعة السينية الحائنة x-ray diffraction لفحص نماذج مختارة للبيدونات المدروسة تضمنت عينة من أفق سطحي وعينة من أفق تحت سطحي وقد أظهرت النتائج ظهور مجموعة من الحيوانات تعكس نسب تواجد معادن الطين في البيدونات المدروسة وتضمنت هذه الحيوانات ظهور الحيوان 13 انكستروم والعائد لمعدن السmekاتيت والذي ظهر في جميع البيدونات تلاه في السيادة معدن المايكا عند الحيوان 9.5-10.2 انكستروم تلاه معدن الكلورايت والذي ظهر عند الحيوان الأول 14 انكستروم والحيوان الثاني 7 انكستروم مع الحيوانين في جميع المعاملات دلالة على أنه كلورايت حقيقي مقاوم للحرارة chlorite real كما ظهر الكاولينايت عند الحيوان 7.2-6.5 انكستروم والذي احتفى عند معاملة التسخين إلى 550 درجة مئوية ، معدن البايوتايت ظهر عند الحيوان 4.8-5 انكستروم في جميع البيدونات ومن نتائج فحوصات الأشعة السينية الحائنة ظهور بعض المعادن المستطبقة المنتظمة حيث ظهر المعدن المستطبق المنتظم مايكا-سمكتايت عند الحيوان 12 انكستروم وكذلك المعدن المستطبق المنتظم مايكا-كلورايت وقد عكس التغير في قيم الحيوانات بين العينات المدروسة هو تأثر المعادن بدرجات مختلفة من التجوية فضلاً عن تداخلها مع المواد العضوية مما أثر بشكل واضح على قيم الحيوانات ويرجع هذا بدرجة رئيسية إلى وجود حالة التداخل بين المعادن والمواد العضوية مكونة معدنات عضوية-معدنية organo-mineral complexes.

الكلمات المفتاحية: معدنات عضوية-معدنية، تقنية الأشعة السينية الحائنة، ترب أهوار، المجهر الإلكتروني الماسح
المقدمة

تعد المعدنات العضوية المعدنية واحدة من المكونات المهمة في ترب الأهوار والتي تلعب دوراً محورياً في كيمياء هذه الترب وخاصة في جزئها الغروي ، وأنَّ ميكانيكية تكونها في التربة تخضع للعديد من المحددات والعوامل الخارجية والداخلية للتربة فضلاً عن فعالية العمليات البيدوجينية الناتجة عن عمليات الفقد والكسب لغرويات التربة المتمثلة بالمواد العضوية المتبدلة ومعادن الطين Jones & Singh, 2014 ، بشكل عام يرتبط معدل تكون المعدنات العضوية – المعدنية مع وجود المادة العضوية ومعادن الطين فضلاً عن العناصر الصغرى والتثيلة Baldock و Skjemstad ، 2000. تعد ترب الأهوار المنتشرة في جنوب العراق من الترب الحديثة والتي تحولت في معظمها إلى أراضي زراعية بعد تجفيف مساحات كبيرة من الأهوار في المناطق الجنوبية في محافظات البصرة وذي قار وميسان ، وإنَّ عملية التجفيف هذه أدت إلى حدوث تغيرات كيميائية وباليولوجية كبيرة في خصائص التربة ، ونظرًا لما تحويه ترب الأهوار من كميات جيدة من المادة العضوية فضلاً عن عمليات الأكسدة والاختزال التي تحصل نتيجة تآكل الظروف الهوائية واللاهوائية جراء عمليات التجفيف والغرق في هذه الترب كلُّ هذه العوامل تساهم في إيجاد فرصه كبيرة لتكون المعدنات العضوية المعدنية فيها (Bonnard et al. 2012).

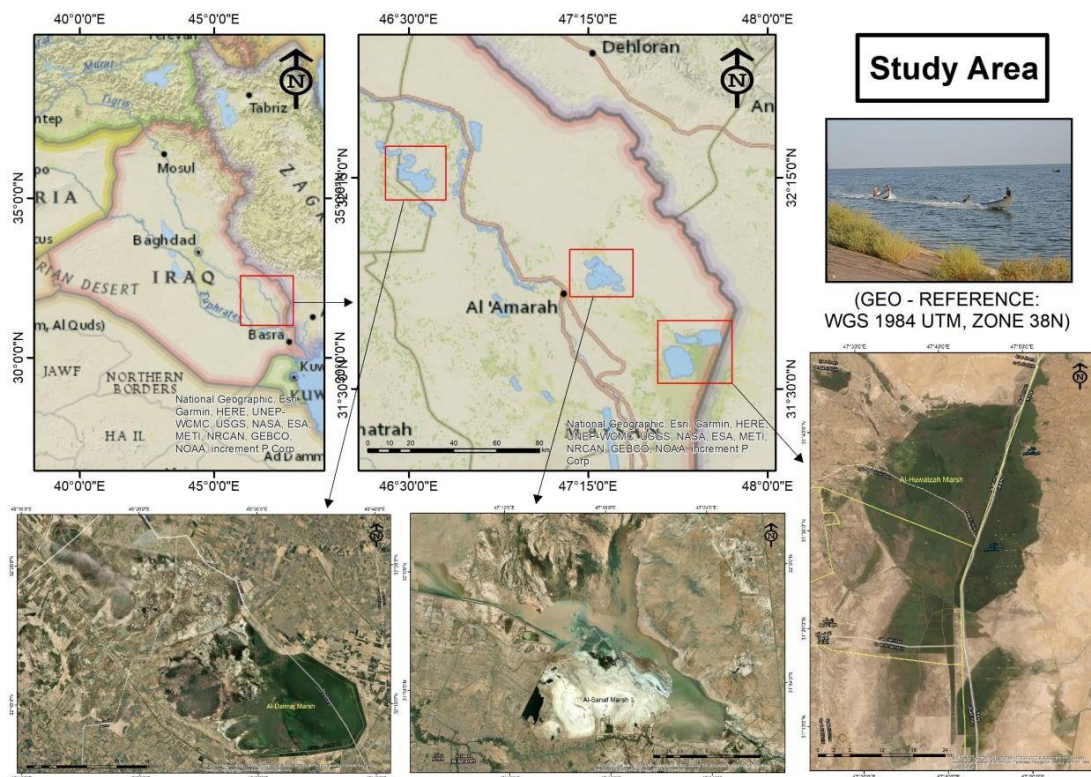
al.

تعتبر التحولات المعدنية من الأمور المهمة التي تؤثر على بيئه الأهوار وتكونها الكيميائي حيث يؤدي الغمر الدائم للأهوار والظروف اللاهوائية الناتجة عن هذه الظاهرة إلى عدد من التغيرات في الخصائص الكيميائية والفيزيائية والميكروبيولوجية والمورفولوجية والمعدنية للتربة نتيجة تراكم المواد العضوية وسيادة بعض العمليات الأولية النشطة مثل عملية التندق التي تؤدي إلى عمليات الاختزال ، مسببة تغيير لوان التربة من خلال تعاقب عمليتي الترتيب والتتجفيف (Boorman et al, 2002). إن حدوث مثل هذه العمليات الأولية في الأهوار يسبب بعض التغيرات في التركيب المعدني للتربة نتيجة لعملية تراكم المواد العضوية وتحللها حيث انَّ الجزء الطيني من التربة هو الجزء الذي يحتوي على الدفائق الانعم ويعرف بكونه عبارة عن المفصولات ذات القطر الذي يقل عن 0.002 ملم (مفصول الطين) والذي يحتوي على عدد كبير من المعادن التي ربما تكون معادن أولية في التربة غير الناضجة مثل تلك الترب المكونة على مواد اصل مشتقة من الصخور الرسوبيّة ، ومعادن الطين تشمل ما يعرف بالمعادن الصفائحية Phylosilicates ، لاسيما المعادن المنتسبة مثل مجموعة السmekاتيت والفيرميوكوليت ، والذين يمتازان بكونهما حساسان جداً للمحيط التي يتواجدان فيها(Cahoon and Reed, 1996)، كما تساعد عملية الاختزال على بعض التحولات المعدنية التي تؤدي إلى تغيير تلك المعادن من مقاومة التجوية إلى ضعيفة المقاومة ، أو تؤدي إلى التحطيم الكامل للمعدن وقد يكون عكس ذلك مع استمرار العملية فتؤدي التجوية إلى تحول معادن السيليكات ثلاثة الطبقات إلى المعادن ذات الطبقتين ثم إلى الأكسيد وهي الأكثر مقاومة (Dent et al 1976).

ونظراً لأهمية الأهوار خاصة بعد إدراجها في قائمة التراث العالمي لعام 2016 وعدم وجود دراسات من هذا النوع فقد أجريت هذه الدراسة من أجل التحري عن طبيعة تكوين المعقدات العضوية-المعدنية في ترب أهوار جنوب العراق باستخدام تقنية الأشعة السينية الحائنة والمجهر الإلكتروني الماسح (SEM) وكذلك بيان تأثير نوع معادن الطين في طبيعة تكوين المعقدات العضوية-المعدنية.

المواد وطرق العمل

نظراً لكون الدراسة تستهدف ترب الأهوار فقد تم اختيار محافظة ميسان لوجود عدة هور فيها وكذلك محافظة واسط لوجود هور الدلمج فيها ، بعد عملية جمع وحصر المعلومات الخاصة بموقع الأهوار في محافظة واسط وميسان تم اختيار هور الدلمج في واسط وأهوار (السناف والعظيم 1 والسودة وأم ناعج والتراة) في محافظة ميسان.



شكل (1) خارطة تبين موقع بيدونات ترب الدراسة

بعد تحديد موقع البيدونات ثم جرى كشف البيدونات المختارة وتم تشريحيها أصولياً ووصف مورفولوجياً وفق الأصوليات الواردة في دليل مسح التربة الأمريكي (Soil Survey Staff, 1993) ، بعد ذلك تم استحصل عينات تربة مستشارية من Disturbed جميع الأفاق وبصورة متجانسة ورفقت ووضعت في أكياس بلاستيكية لغرض إجراء الفحوصات الفيزيائية حسب Clute et al 1987، والكيميائية حسب الطرق الموصوفة في Page et al, 1982. أما الفحوصات المعدنية فقد تديرها في جهاز (X-Ray diffraction) في مختبرات وزارة العلوم والتكنولوجيا وقدرت المعادن الأولية والثانوية وفقاً لطريقة (Jackson, 1979).

من جانب اخر فقد تم الإستعanaة بالمجهر الإلكتروني الماسح (SEM) لفحص نماذج مختارة من عينات مفصول الطين منفرداً فضلاً عن عينات خليطة من الطين والمادة العضوية بهدف التعرف على طبيعة التداخل بين معادن الطين والمواد العضوية وبدرجات دقة مختلفة بالإستعanaة بجهاز المجهر الإلكتروني الماسح في جامعة الكوفة / كلية العلوم.

جدول رقم (1) الصفات الفيزيائية لعينات ترب الدراسة

المسامية الكلية %	الكتافة المحققة M.gm.m. ⁻³	الكتافة الظاهرة M.gm.m. ⁻³	النوعة	%			العمق (س)	الأنفاق	اسم المور	الموقع	رقم البيدرون
				الطين	الغرين	الرمل					
56.75	2.59	1.12	طينية غرينية	41	42	17	0 - 8	A	الملحاج	واسط/الحرار	1
56.78	2.62	1.13	طينية غرينية	40	45	15	8 - 13	C _{gk1}			
56.43	2.68	1.17	طينية غرينية	40	41	19	13 - 23	C _{gk2}			
57.95	2.83	1.19	مزيجية طينية غرينية	38	42	20	23-33	C _{gk3}			
58.47	2.89	1.2	طينية غرينية	43	39	18	78-33	C _{gk4}			
57.98	2.88	1.21	طينية غرينية	42	41	17	108-78	C _{gk5}			
57.93	2.91	1.22	طينية غرينية	44	40	16	108+	C _{gk6}			
47.15	2.46	1.3	مزيجية طينية	39	38	23	0-8	A	عثيم 1	ميسان/المشرح	2
50.18	2.65	1.32	مزيجية طينية	38	41	21	8-22	C _{gk}			
50	2.66	133	مزيجية طينية	35	45	20	22-32	C _{gk1}			
51.85	2.70	1.39	طينية غرينية	40	46	14	32-55	C _{gk2}			
48.35	2.72	1.41	طينية غرينية	42	43	15	75-55	C _{gk3}			
47.98	2.73	1.42	مزيجية طينية	40	40	20	85-75	C _{gk4}			
49.12	2.85	1.45	مزيجية طينية غرينية	39	43	18	85+	C _{gk5}			
55.51	2.45	1.09	طينية	42	34	24	0-8	A	هور السناف	ميسان/المشرح	3
55.42	2.49	1.11	طينية	40	39	21	8-16	C _k			
55.34	2.62	1.17	طينية	44	35	21	16-27	C _{kl}			
52.02	2.71	1.3	طينية	41	43	25	+27	C _{k2}			
56	2.75	1.21	طينية	45	40	15	0-10	A	هور أم ناع	ميسان/الخلاء صالح	4
55.59	2.77	1.23	طينية غرينية	44	43	13	10-45	C _{gk}			
55.35	2.80	1.25	طينية غرينية	43	47	10	45-75	C _{gk1}			
55.17	2.90	1.3	طينية غرينية	44	45	11	75+	C _{gk2}			
47,70	2.62	1.37	طينية	45	40	15	0-20	A	هور القرابة صالح	ميسان / قلعة صالح	5
48.32	2.69	1.39	طينية	45	39	16	20-50	C _{gk1}			
48.17	2.74	1.42	طينية	44	40	16	50-90	C _{gk2}			
50	2.89	1.46	طينية	42	41	17	+90	C _{gk3}			
48.97	2.45	1.25	مزيجية طينية	39	33	28	0-10	A	السودة	ميسان / قلعة صالح	6
49.2	2.50	1.27	طينية	42	38	20	30-10	C _{gk1}			
41.39	2.73	1.36	طينية	47	40	13	30-60	C _{gk2}			

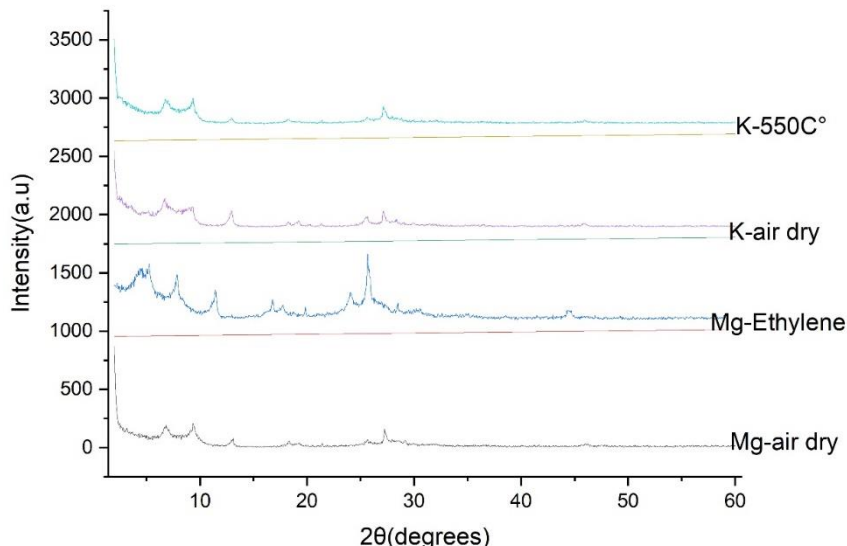
جدول (3) الخصائص الكيميائية لبيدونات ترب الدراسة

المادة المضوية %	CEC cmole.kg ⁻¹	جسم %	CaCO ₃	EC dS.m ⁻¹	pH	المعنى(s) الأفق	اسم المور	الموقع	رقم البيدون
16.89	19.40	9.83	32.00	60.50	7.10	0 - 8	A	الملجم واسط/الأحرار	1
17.10	20.30	9.20	51.00	33.50	7.20	8 - 13	C _{gk1}		
17.50	10.50	10.10	44.00	17.90	7.30	13 - 23	C _{gk2}		
18.10	19.12	9.70	45.40	17.60	7.30	23-33	C _{gk3}		
20.33	19.00	8.80	43.20	20.50	7.20	78-33	C _{gk4}		
21.80	19.10	7.50	42.10	20.20	7.20	108-78	C _{gk5}		
22.30	19.30	8.20	46.50	20.90	7.30	108+	C _{gk6}		
19.88	19.50	9.91	44.00	31.10	7.30	0-8	A	عيدي ميسان/المشرح	2
20.10	19.48	9.29	48.00	13.80	7.50	8-22	C _{gk}		
20.10	19.11	9.60	43.00	17.60	7.50	22-32	C _{gk1}		
17.50	19.38	9.40	42.00	17.50	7.40	32-55	C _{gk2}		
18.00	19.41	9.20	44.00	16.10	7.40	75-55	C _{gk3}		
14.20	21.41	9.10	39.00	19.70	7.40	85-75	C _{gk4}		
14.90	20.92	8.80	37.00	24.20	7.30	85+	C _{gk5}		
15.80	19.75	9.28	30.00	110.80	6.90	0-8	A	هور السناف ميسان/المشرح	3
16.10	19.68	8.99	37.00	41.00	7.30	8-16	C _k		
16.20	19.61	8.00	34.00	22.00	7.50	16-27	C _{k1}		
19.75	19.58	7.80	33.00	29.10	7.40	+27	C _{k2}		
16.90	20.48	8.93	45.00	57.30	7.00	0-10	A	هور أم نعاج ميسان/الكحدار	4
16.95	20.41	10.32	36.00	17.60	7.40	10-45	C _{gk}		
17.50	20.38	9.90	37.00	21.10	7.30	45-75	C _{gk1}		
17.90	20.30	9.40	33.00	16.40	7.30	75+	C _{gk2}		
17.10	19.30	8.73	34.00	11.40	7.30	0-20	A	هور القرابة ميسان / قلعة صالح	5
17.50	19.10	7.89	51.00	4.20	7.50	20-50	C _{gk1}		
17.80	19.00	7.40	50.00	3.90	7.50	50-90	C _{gk2}		
20.10	18.80	7.70	47.00	2.80	7.70	+90	C _{gk3}		
19.80	21.39	9.50	33.00	5.80	7.40	0-10	A	هور السودة ميسان / قلعة صالح	6
21.80	21.38	10.00	34.00	6.40	7.50	10-30	C _{gk1}		
25.30	21.15	9.51	41.00	11.60	7.40	30-60	C _{gk2}		

النتائج والمناقشة:

التكوين المعنوي لمفصول الطين باستخدام حيود الأشعة السينية XRD لتراب الدراسة:

من أجل وصف حالة التباين في محتوى نوع المعادن في ترب بيدونات ترب الدراسة ، تم استخدام جهاز الأشعة السينية X-Ray في مختبرات وزارة العلوم والتكنولوجيا العراقية، حيث تم حساب كمية هذه المعادن على أساس قياس المساحات تحت المنحني Intensity area under peak لمنحنيات حيود الأشعة السينية وحسب الطريقة المتبعة من (AL-Saadi , 1977)، إذ شخصت المعادن اعتماداً على المسافة بين طبقاتها التي تعد صفة ثابتة في جميع المعادن . بينما فحوصات الأشعة السينية الحادة x-ray في الشكل (2) لدفائق مفصولات الطين المتحصل عليها من بيدون تربة هور الدلمج للأفق السطحي ، إذ أظهرت النتائج وجود الحيود 13.27 انكستروم ، وضمن معاملة التشبع بالмагنيسيوم والجافة هوائياً، والذي اتسعت مساحتها.



الشكل (2) منحنيات حيود الأشعة السينية لبيدون هور الدلمج للأفق السطحي

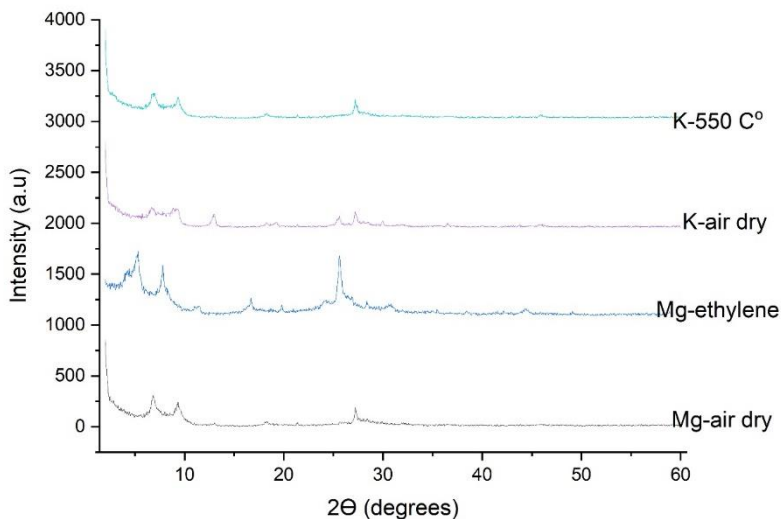
القاعدية spacing d لتصل إلى 18.22 انكستروم في معاملة التشبع بالأثيلين كلوكول، مع بقاء الحيود 13.27 انكستروم محافظاً على مسافته القاعدية عند المعاملة المذكورة، كما أثبتت معاملة التشبع بالبوتاسيوم والمسخنة إلى درجة الحرارة 550 إلى اختفاء الحيود 13.27 انكستروم، مع محافظة الحيود 13.11 انكستروم على بقاءه في المعاملتين المذكورتين وهذا ما يؤكد وجود معنوي السمعكتايت والكلورايت الحقيقي المقاوم للحرارة Real Chlorite في النماذج الفحوصة. كما أظهرت النتائج وجود الحيود 9.53 انكستروم في معاملة التشبع بالмагنيسيوم مع بقاءه ثابتاً في المعاملات جميعاً، مما يؤكد وجود معادن المايكا في النماذج، وأنَّ ظهور الحيود الثاني المعادن المايكا عند الحيود 4.86 انكستروم وبشدة ضعيفة وبقائه ثابتاً في المعاملات جميعاً يؤكد وجود معادن البايوتايت Biotite في هذا الأفق (Dixon وآخرون ، 1977) ، وهذه النتائج تتفق مع العديد من نتائج الدراسات التي أجريت على الترب العراقية (الجاف 2006 ، الضاحي 2009 ، الوظيفي 2012) ، إذ أكدت تلك الدراسات أنَّ معادن البايوتايت هو السائد من بين معادن المايكا في الترب العراقية على الرغم من مقاومته الضعيفة للتوجيه مقارنة بمعدن المسكوفايت ، وعزوا ذلك إلى سيادة معدن البايوتايت ضمن التربات المنقوله بواسطة نهرى دجلة والفرات التي مصدرها الصخور المتوجية جنوب شرق تركيا .

أظهرت النتائج أيضاً وجود الحيود 6.82 والذي بقي ثابتاً في جميع المعاملات ثم اختفاء في معاملة التسخين على درجة حرارة 550 $^{\circ}$ مما يدل على وجود معادن الكاؤلينايت وأنَّ تواجد هذا المعادن في منطقة الأهوار دلالة على وجود بيئه شديدة التوجيه ساهمت في تحول بعض معادن الكاؤلينايت أو ربما يكون هذا المعادن موروث من مادة الأصل المنقوله مع مياه الفيضانات التي تصب في منخفضات الأهوار.

بينت فحوصات الأشعة السينية الحادة x-ray في الشكل (3) لدفائق مفصولات الطين المتحصل عليها من بيدون تربة هور الدلمج للأفق السطحي ، حيث أظهرت النتائج وجود تطابق في قيم بعض حيود المعادن المشخصة ماعدا وجود الحيود 12.88 وضمن معاملة التشبع بالмагنيسيوم والجافة هوائياً والذي يعود للمعدن المستطبق مايكا-سمكتايت والذي تأثر بمعاملة التشبع بالأثيلين كلوكول رافعاً قيمة الحيود إلى 16.13 والناتج من تمدد طبقات السمعكتايت وهذا يعكس حالة التوجيه التي تحصل على معادن الطين في البيئات الرطبة وظروف الاختزال المستمرة ، كما أنَّ وجود الحيود مع 13.18 انكستروم وبقائه في معاملتي الحرارة والاثيلين كلوكول يؤكد وجود معنوي السمعكتايت والكلورايت الحقيقي المقاوم للحرارة Real Chlorite في هذا الأفق.

بيّنت النتائج وجود الحيود 9.45 انكستروم في معاملة التشبع بالمغنيسيوم مع بقاءه ثابتاً في جميع المعاملات ، مما يثبت وجود معادن المايكا في هذا النموذج ، كما أنَّ ظهور الحيود الثاني المعادن المايكا عند القيمة 4.86 انكستروم وبشدة ضعيفة نسبياً مع بقاءه ثابتاً في المعاملات الأخرى يؤكِّد وجود معدن البايوتait Biotite والذي هو عبارة مياكا ثلاثية الأوكاهيدرا في هذا الأفق Dixon وأخرون ، 1977) ، وهذه النتائج تتفق مع العديد من نتائج الدراسات التي أجريت على الترب العراقية (الضاحي 2009 ، الوظيفي 2012 ، العمدي 2021 ، Kareem etal, 2021 ، 2021) ، إذ اكدت تلك الدراسات أنَّ معدن البايوتait هو السائد من بين معادن المايكا في الترب العراقية على الرغم من مقاومته الضعيفة للتوجوية مقارنة بمعدن المسكوفايت ، وعزوا ذلك إلى وفرة هذا المعدن ضمن التربات المنقوله بواسطة نهر دجلة والفرات وروافدهما التي مصدرها الصخور المتوجية جنوب شرق تركيا وشمال غرب ايران.

كما أظهرت النتائج وجود الحيود 6.80 انكستروم مع بقاءه ثابتاً في جميع المعاملات ثم اختفاء في معاملة التسخين على درجة حرارة 550°C مما يدل على وجود معدن الكاولينيت وأنَّ تواجد هذا المعدن في منطقة الأهوار دلالة على وجود بيئه شديدة التجوية ساهمت في تحول بعض معادن الكاولينيت أو ربما يكون هذا المعدن موروث من مادة الأصل المنقوله مع مياه الفيضانات التي تصب في منخفضات الأهوار.



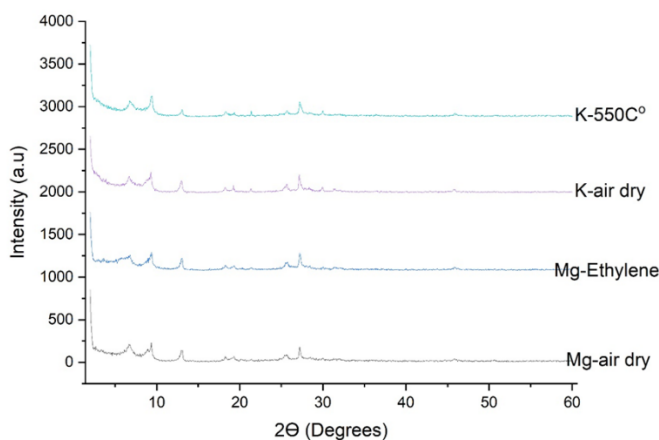
الشكل (3) منحنيات حيود الأشعة السينية لبيدون هور اللامع للأفق تحت السطحي

اظهرت فحوصات الأشعة السينية الحائنة x-ray في الشكل (4) لدقائق مفصولات الطين العائنة إلى بيدون تربة هور العظيم للأفق السطحي وهو من بيدونات ناحية المشرح في محافظة ميسان ، حيث أظهرت النتائج وجود الحيود 13.09 انكستروم لمعاملة التشبع بالمغنيسيوم والجافة هوائياً والذي يعود السماتيات بدلالة تأثيره بمعاملة التشبع بالاثيلين كلارك حيث ارتفعت قيمة الحيود إلى 17.2 انكستروم نتيجة تمدد طبقات السماتيات الذي يمتاز بهذه الصفة ، كما لوحظ وجود الحيود مع 13.18 انكستروم وبقاءه في معاملتي الحرارة والاثيلين كلارك والذي يؤكِّد وجود الكلورايت الحقيقي المقاوم للحرارة Real Chlorite في هذا البيدون.

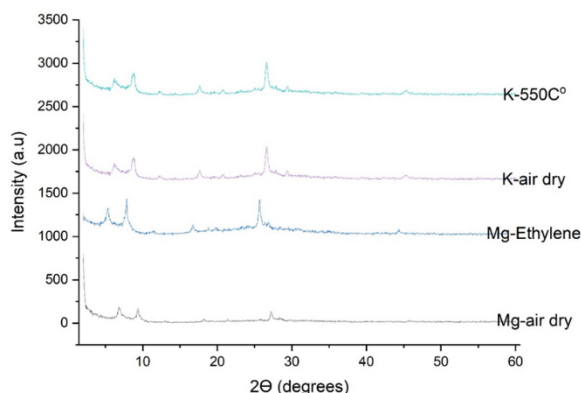
كما بيّنت النتائج وجود الحيود 9.45 انكستروم في معاملة التشبع بالمغنيسيوم مع بقاءه ثابتاً في جميع المعاملات ، مما يشير وجود معادن المايكا في هذا الأفق، إضافة إلى ظهور الحيود الثاني المعادن المايكا عند الحيود 4.87 انكستروم وبشدة ضعيفة وبقاءه ثابتاً في المعاملات جميعها مما يؤكِّد وجود معدن البايوتait Biotite في هذا الأفق (Dixon وأخرون ، 1977) ، وهذه النتائج تتفق مع العديد من نتائج الدراسات التي أجريت على الترب العراقية (الجاف 2006 ، الضاحي 2009 ، الوظيفي 2012 ، والقيسي 2017 ، الشمري ، 2020) ، إذ اكدت تلك الدراسات أنَّ معدن البايوتait هو السائد من بين معادن المايكا في الترب العراقية على الرغم من مقاومته الضعيفة للتوجوية مقارنة بمعدن المسكوفايت .

أظهرت النتائج أيضاً وجود الحيود 6.65 وبقاءه ثابتاً في معاملة الاثيلين كلارك والبوتاسيوم الجاف هوائياً ثم اختفاء في معاملة التسخين على درجة حرارة 550°C مما يدل على وجود معدن الكاولينيت وأنَّ تواجد هذا المعدن في منطقة الأهوار دلالة على وجود بيئه شديدة التجوية ساهمت في تحول بعض معادن 1:2 إلى معدن الكاولينيت أو ربما يكون هذا المعدن موروث من مادة الأصل المنقوله مع مياه الفيضانات التي تصب في منخفضات الأهوار .

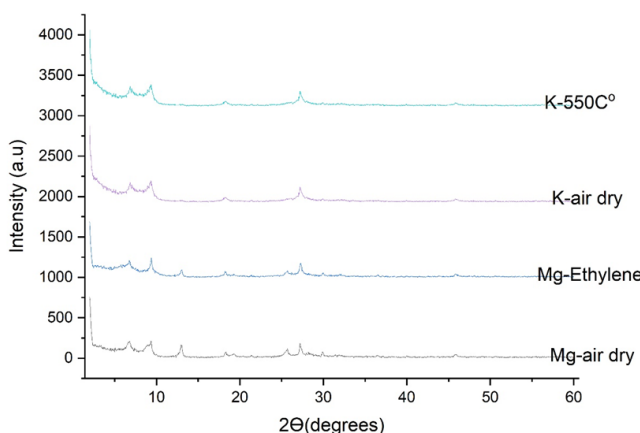
إنَّ وجود الحيود 7.06 وبقاءه ثابتاً في جميع المعاملات مما يؤكِّد الحيود الثاني لمعدن الكلورايت .



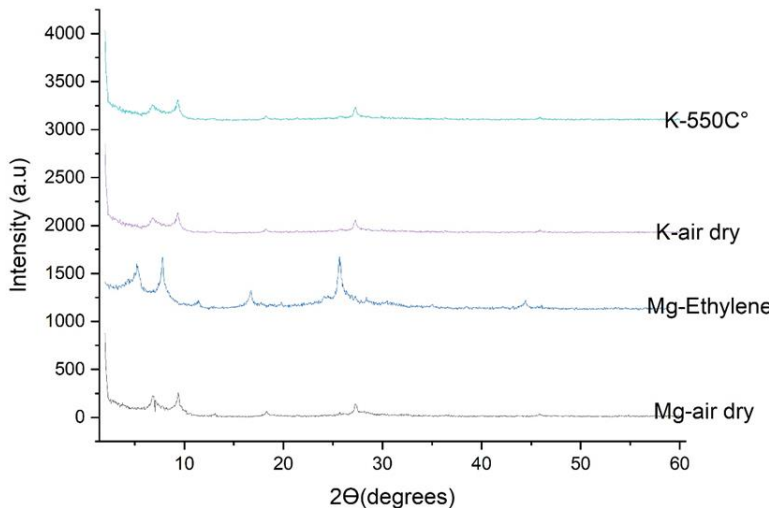
الشكل (4) منحنيات حيود الأشعة السينية لبידون هور العظيم 1 للأفق السطحي



الشكل (5) منحنيات حيود الأشعة السينية لبيدون هور العظيم 1 للأفق تحت السطحي



الشكل (6) منحنيات حيود الأشعة السينية لبيدون هور السناف للأفق السطحي



الشكل (7) منحنيات حيود الأشعة السينية لبيدون هور السناف للأفق تحت السطحي

بينت فحوصات الأشعة السينية الحادة X-ray في الشكل (5) لدفائق مفصولات الطين لبيدون تربة هور العظيم 1 للأفق تحت السطحي ، إذ بينت النتائج وجود الحيود 12.98 انكستروم في معاملة التشبع بالмагنيسيوم والجافة هوائية، ثم اتسعت مسافة القاعدة d spacing لتصل إلى 17.20 انكستروم في معاملة التشبع بالألمنيوم كلايكول ، مع بقاء الحيود 13.71 انكستروم محافظاً على مسافته القاعدية عند المعاملة المذكورة، كما سببت معاملة التشبع بالبولياسيوم والمسخنة إلى درجة الحرارة 550 550 اختفاء الحيود 13.71 انكستروم، مع محافظة الحيود 15.58 انكستروم على بقائه في المعاملتين المذكورتين وهذا ما يؤكد وجود المعدن المستطبق مايكا-سمكتايت والذي يبين حالة التجوية الشديدة التي أثرت في معادن المايكا محولة إياها إلى معادن 2:1 المتمدة لتوفر الظروف الملائمة لمثل هذا التحول.

كما أظهرت النتائج وجود الحيود 9.41 انكستروم في معاملة التشبع بالمعنسيوم مع بقائه ثابتاً في المعاملات جميعها، مما يدل على وجود معادن المايكا في التموج، وأن ظهور الحيود الثاني المعادن المايكا عند الحيود 4.87 انكستروم وبشدة ضعيفة وبقائه ثابتاً في المعاملات جميعاً يؤكد وجود معدن البايونايت Biotite في هذا الأفق (Dixon وآخرون ، 1977) ، وهذه النتائج تتفق مع العديد من نتائج الدراسات التي أجريت على الترب العراقية (الجف 2006 ، الضاحي 2009 ، الوظيفي 2012) ، إذ أكدت تلك الدراسات أنَّ معدن البايونايت هو السادس من بين معادن المايكا في الترب العراقية على الرغم من مقاومته الضعيفة للتجوية مقارنة بمعدن المسكوفايت ، وعزوا ذلك إلى سيادة معدن البايونايت ضمن التربات المنقوله بواسطة نهر دجلة والفرات التي مصدرها الصخور المتوجية جنوب شرق تركيا فضلاً عن التربات المنقوله من ايران.

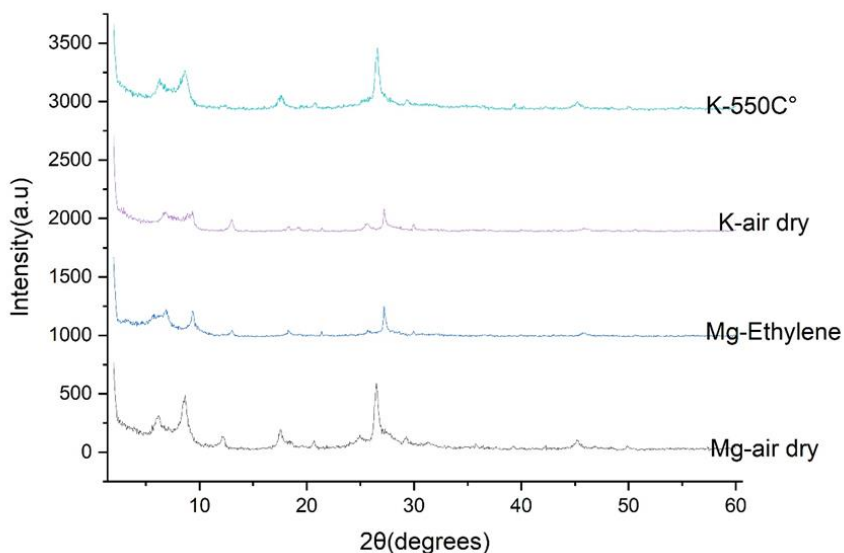
أظهرت النتائج أيضاً وجود الحيود 6.65 والذي بقي ثابتاً في جميع المعاملات ثم اختفاء في معاملة التسخين على درجة حرارة 550°C° مما يدل على وجود معدن الكاولينايت وأنَّ تواجد هذا المعدن في منطقة الأهوار دلالة على وجود بيئه شديدة التجوية ساهمت في تحول بعض معادن 2:1 إلى معدن الكاولينايت أو ربما يكون هذا المعدن موروث من مادة الأصل المنقوله مع مياه الفيضانات التي تصب في منخفضات الأهوار ومنها الأهوار المدروسة.

يبين الشكل (6) منحنيات حيود الأشعة السينية للأفق السطحي لبيدون هور السناف حيث بينت النتائج ظهور الحيود 14.84 انكستروم ومن ثم تددده إلى 17.63 انكستروم مما يؤكد بشكل لا يقبل الشك وجود معدن السمكتايت المتمدد (المونتموريلونايت) ومن جهة أخرى لوحظ ثبات الحيود 12.89 انكستروم عند معاملة التسخين على 550 درجة مئوية مما يدل على وجود معدن الكلورايت الحقيقي المقاوم للحرارة ، أنَّ ظهور الحيودين 12.29 و 11.22 يؤشر على وجود المعدن المتداخل مايكا-سمكتايت ، كذلك لوحظ وجود الحيود 10.49 والعائد لمعدن الباليوكورسكايت في هذا التموج ، كذلك ظهور الحيود 10.27 وبقائه ثابتاً في جميع المعاملات دلالة على وجود معدن المايكا ، أمَّا الحيود الآخر المسجل في هذا التموج فقيمه 6.75 وبقائه ثابتاً في جميع المعاملات عدا معاملة التسخين مما يدل على وجود معدن الكاولينايت وهذه النتائج جائت متوافقة مع ما وجده AL-Rawi (1969) عند دراسته لترب السهل الرسوبي وكذلك مع نتائج عبد الله (1982) و الحسيني (2005) عند دراسته لترب الأهوار.

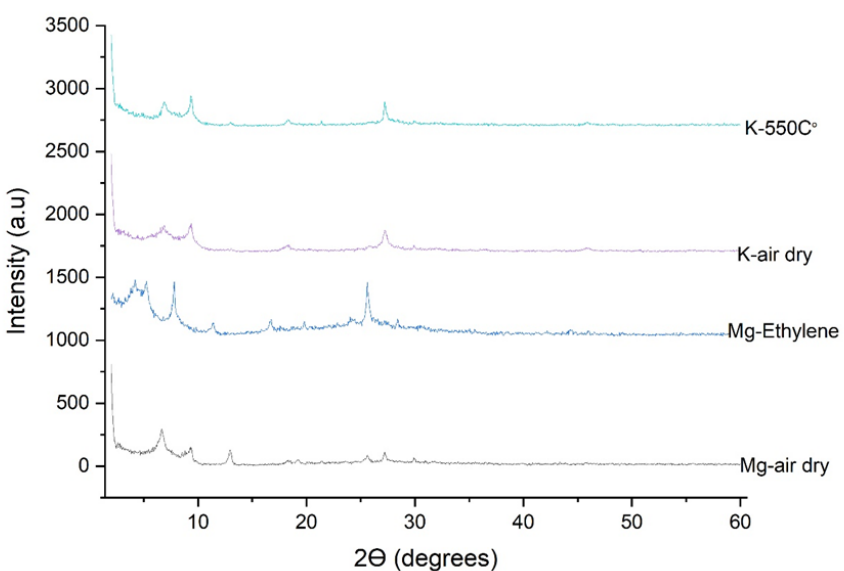
أما في الأفق تحت السطحي لنفس البيدون فيبيان الشكل (7) ظهور الحيود 12.97 انكستروم وتمدداته إلى 15.85 انكستروم مما يؤكد وجود معدن السمكتايت أيضاً تم ملاحظة ثبات الحيود 13.17 انكستروم عند معاملة التسخين على 550 درجة مئوية وهو دليل على وجود معدن الكلورايت الحقيقي المقاوم للحرارة ، كذلك ظهور الحيود 9.40 انكستروم وبقائه ثابتاً في جميع المعاملات

دلالة على وجود معدن المايكا ، فضلا عن ذلك لوحظ وجود الحيود 6.75 وبقاءه ثابتًا في جميع المعاملات عدا معاملة التسخين على 550 درجة مئوية وهو دليل على وجود معدن الكاولينايت كما أنَّ وجود معدن السمسكتايت في هذه الترب يعطي فرصة كبيرة لتكوين المعقادات العضوية في ظل وجود كميات كبيرة من المواد العضوية المتغيرة وبدرجات مختلفة من التحلل وهذا ما سيتضح تأكيده في فحوصات المجهر الإلكتروني الماسح SEM وهذه النتائج جاءت متوافقة مع ما وجده الحسيني ، Kareem ، 2005 ، عند دراستهم لتراب الأهوار جنوب العراق. etal, 2021

اظهرت فحوصات الأشعة السينية لبيدون تربة هور أم نعاج في قضاء الكحلاء في محافظة ميسان وللأفق السطحي والمبينة في الشكل (8) وجود مجموعة من الحيود التي تعكس وجود مجموعات من الحيود التي تعكس



الشكل (8) منحنيات حيود الأشعة السينية لبيدون هور أم نعاج للأفق السطحي



الشكل (9) منحنيات حيود الأشعة السينية لبيدون هور أم نعاج للأفق تحت السطحي

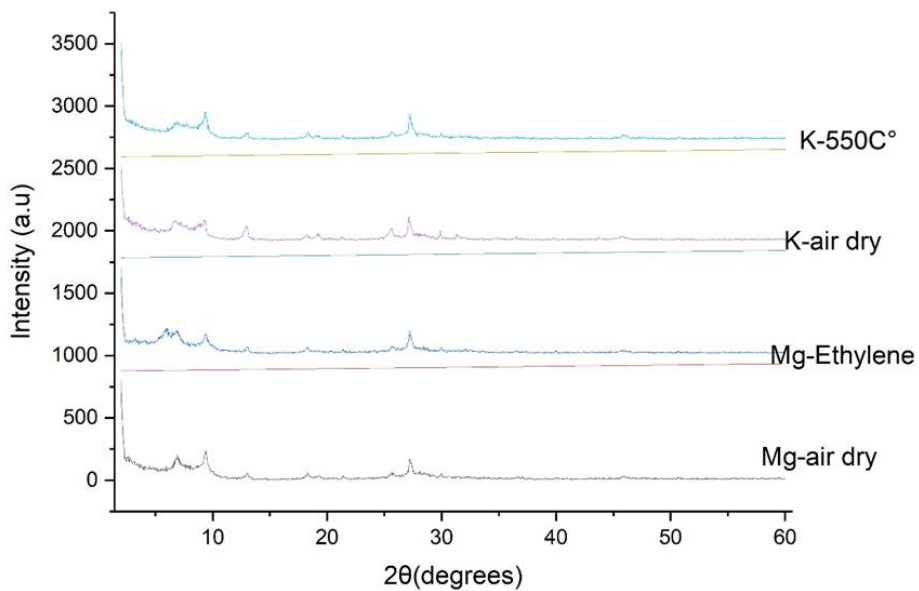
وجود مجموعة من المعادن في هذا النموذج حيث أظهرت النتائج وجود الحبيود 14.24 انكستروم لمعاملة التشبع بالمنغنيسيوم والجافة هوائياً والذي يؤكد وجود معدن السمكتايت نتيجة تأثيره بمعاملة التشبع بالاثيلين كلايكول حيث ارتفعت قيمة الحبيود إلى 15.23 انكستروم نتيجة تمدد طبقات السمكتايت الذي يمتاز بهذه الصفة ، كما لوحظ وجود الحبيود 12.80 انكستروم وهو دليل على وجود المعدن المستطبق مايكا-سمكتايت ، وأن وجود هذا المعدن دلالة على حالة التجوية التي تتعرض لها معادن المايكا نتيجة الظروف الرطبة وكثافة الغطاء النبات وبما يضيفه من مواد عضوية تساهم في نشاط عملية التجوية فضلاً عن ذر المعدقات العضوية المعدنية في التحولات التي تحصل لمعادن الطين ضمن هذه البيئة كما أن سيادة معدن السمكتايت في ترب الدراسة تعزى بالأساس إلى طبيعة مادة الأصل وحالة التجوية والتحول من معدن المايكا ، فضلاً عن التعرية التي حصلت في أثناء نقل مواد هذه الترب واعادة ترسيبها. أو قد يكون مصدرها من تجوية المعادن الفيرو-منغنيسيية الموجودة في الصخور النارية والقاعدية المنتشرة في شمال العراق التي تمثل المناطق العليا من مجرى نهرى دجلة والفرات (Kadhim , 1976). أما معدن المايكا فإن مصدره في الترب الروسيبة هو تراكمه بفعل عمليات الترسيب أو كنتيجة لتجوية معدن البايوتايت (Nettleton et al., 1973) وكذلك فإن الأصل الروسي للمعدن الطينية يمكن أن يستدل عليه بوجود معدن الكاؤلينايت.

كما بينت النتائج وجود الحبيود 10.21 انكستروم في معاملة التشبع بالمنغنيسيوم مع بقاءه ثابتاً في جميع المعاملات ، مما يشير وجود معادن المايكا في هذا الأفق، إضافة إلى ظهور الحبيود الثاني المعدن المايكا عند الحبيود 5.03 انكستروم وبشدة ضعيفة وبقائه ثابتاً في المعاملات جميعها مما يؤكد وجود معدن البايوتايت Biotite في هذا الأفق (Dixon وآخرون ، 1977) ، وهذه النتائج تتفق مع العديد من نتائج الدراسات التي أجريت على الترب العراقية (الجاف 2006 ، الضاحي 2009 ، والقيسي ، 2017 ، الشمري ، 2020 ، الضاحي وفرحان 2021) ، إذ أكدت تلك الدراسات أنَّ معدن البايوتايت هو السائد من بين معادن المايكا في الترب العراقية.

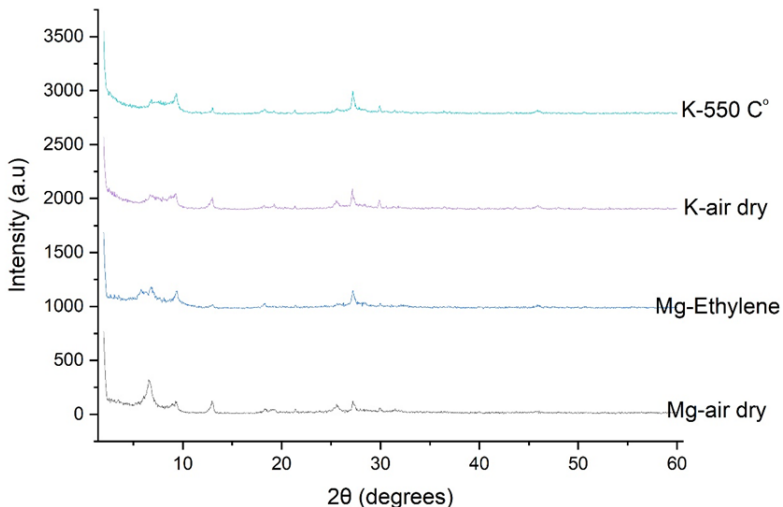
أظهرت النتائج أيضاً وجود الحبيود 7.30 وبقاءه ثابتاً في معاملة الاثيلين كلايكول والبوتاسيوم الجاف هوائياً ثم اختفاء في معاملة التسخين على درجة حرارة 550°C مما يدل على وجود معدن الكاؤلينايت وأنَّ تواجد هذا المعدن في منطقة الأهوار دلالة على وجود بيئه شديدة التجوية ساهمت في تحول بعض معادن 2:1 إلى معدن الكاؤلينايت أو ربما يكون هذا المعدن موروث من مادة الأصل المنقوله مع مياه الفيضانات التي تصب في منخفضات الأهوار.

أما في الأفق تحت السطحي في شكل (9) فقد بينت فحوصات الأشعة السينية لهذا البيدون عدم وجود الحبيود 14 انكستروم واحتفاء تماماً من جميع المعاملات وظهر بدل عنه الحبيود 12.98 انكستروم والعائد للمعدن المستطبق مايكا-سمكتايت مما يدل على أنَّ هذه البيئة والظروف المحيطة بها ساهمت في تجوية معدن المايكا محولة إياها إلى معادن 2:1 والذي تعد فيه المعادن المستطبقة كمرحلة وسطية من عملية التجوية بدليل بقاء الحبيود 12.81 انكستروم ثابتاً في جميع المعاملات ، من جهة أخرى ظهر الحبيود 9.44 انكستروم والعائد لمعدن المايكا والذي يقع ثابتاً في جميع المعاملات وازدادت حدته في معاملات التشبع بالبوتاسيوم والتسخين ، كذلك أظهرت النتائج وجود الحبيود ذو القيمة 6.78 انكستروم وبقاءه ثابتاً في جميع المعاملات دلالة على كونه الحبيود الثاني لمعدن الكلورايت وهذه النتائج جاءت متتفقة مع العيد من الدراسات على ترب الأهوار منها (Kareem 2005 ، الحسيني ، 2005 ، etal,2021) .

أوضحت نتائج فحوصات الأشعة السينية للأفق السطحي لبيدون تربة هور التربة في قضاء قلعة صالح التابع لمحافظة ميسان في الشكل (10) وجود مجموعة من الحبيودات في هذا الأفق حيث أظهرت النتائج وجود الحبيود 18.38 انكستروم لمعاملة التشبع بالمنغنيسيوم والجافة هوائياً والذي يعد الحبيود الثاني للمعدن المستطبق المايكا-كلورايت وما يؤكد ذلك ارتفاع قيمة الحبيود عن معاملة التشبع بالاثيلين كلايكول واستجابة الكلورايت ضمن تركيبة المعدن المستطبق لعملية التمدد كونه من النوع المنق邢 والناتج من عملية الكلورة والتي تعني إضافة طبقة بروسايت بين طبقات معدن السمكتايت عند توفر الظروف المناسبة لهذا التحول وهذا ما أكد الوطيفي (2012) كما لوحظ وجود الحبيود 12.71 انكستروم وبقاءه ثابتاً في جميع المعاملات وهو دليل على وجود المعدن المستطبق مايكا-سمكتايت ، وأنَّ وجود هذا المعدن دلالة على حالة التجوية التي تتعرض لها معادن المايكا نتيجة الظروف الرطبة وكثافة الغطاء النبات وبما يضيفه من مواد عضوية تساهم في نشاط عملية التجوية فضلاً عن دور المعدقات العضوية المعدنية في التحولات التي تحصل لمعادن الطين ضمن هذه البيئة ، أما معدن المايكا فإن مصدره في الترب الروسيبة هو تراكمه بفعل عمليات الترسيب أو كنتيجة لتجوية معدن البايوتايت (Nettleton et al., 1973) وكذلك فإن الأصل الروسي للمعدن الطينية يمكن أن يستدل عليه بوجود بعض المعدن مثل الكاؤلينايت.



الشكل (10) منحنيات حيود الأشعة السينية لبيدون هور الترابية للأفق تحت السطحي



الشكل (11) منحنيات حيود الأشعة السينية لبيدون هور الترابية للأفق تحت السطحي

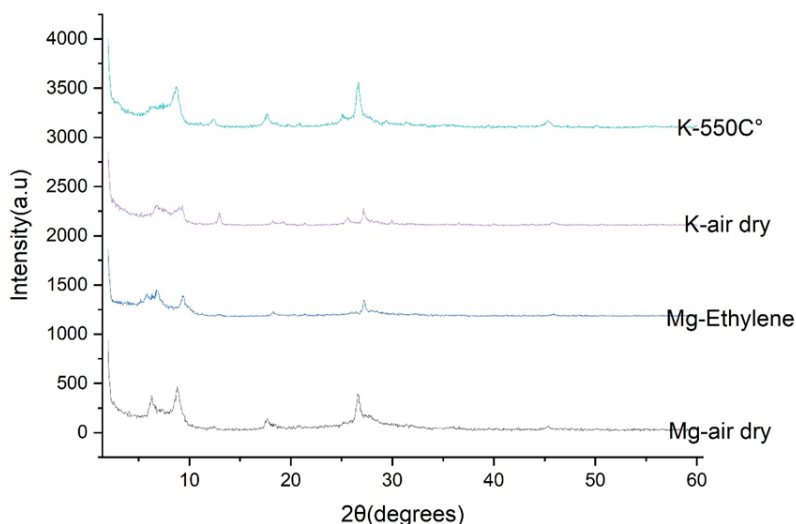
كما بينت النتائج في وجود الحيود 9.40 انكستروم في معاملة التشبع بالмагنيسيوم مع بقاءه ثابتاً في جميع المعاملات ، مما يشير وجود معادن المايكا في هذا الأفق، إضافة إلى ظهور الحيود الثاني المعادن المايكا عند الحيود 4.83 انكستروم وبشدة ضعيفة وبقائه ثابتًا في المعاملات جميعها مما يؤكد وجود معدن البايوتاتيت Biotite في هذا الأفق (Dixon وآخرون ، 1977) ، كما بينت النتائج وجود الحيود الثاني لمعدن الكلورايت 6.79 وبقائه ثابتًا في جميع المعاملات.

إنَّ وجود حالة الإستطباب لمعادن الطين في بيئة الهر تعكس حالة التجوية والدور الذي تلعبه المادة العضوية في بيئة الهر عن طريق ميكانيكيات الانقلال التفاضلي وتكون المعقدات والتي تعمل كواهبة للبروتونات وبالتالي تعزز من عملية التجوية لمعادن الطين لذلك لوحظ وجود معدن مستطبقة بحيودات متباينة تعكس حالة التجوية في هذه التربة وهذه النتائج تتفق مع العديد من نتائج الدراسات التي أجريت على الترب العراقي (القيسي ، 2017، الشمري ، 2020 ، الصاحي وفرحان 2021 ، العمدي ، 2021) ، إذ أكدت تلك الدراسات أنَّ معدن البايوتاتيت هو السائد من بين معادن المايكا في الترب العراقية.

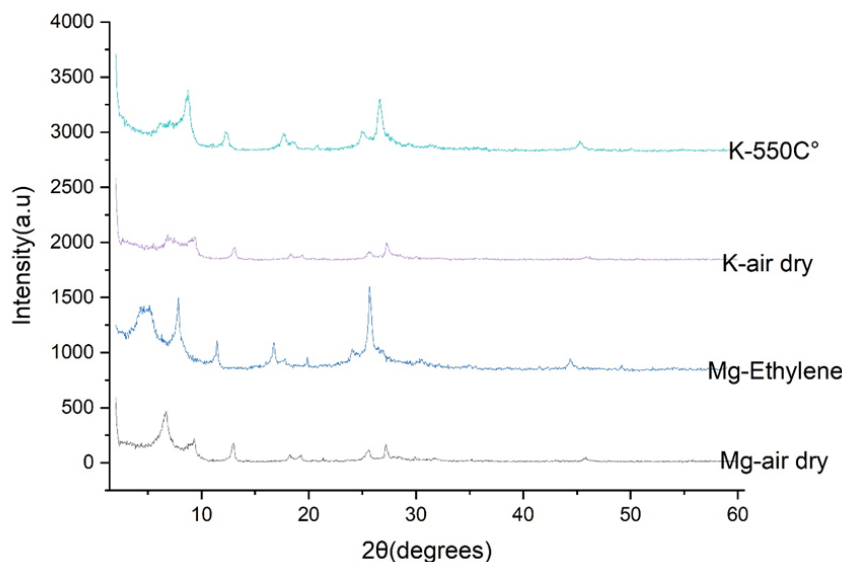
تطابقت النتائج للأفق تحت السطحي لبيدون هور التربة من خلال ظهور نفس الحبيبات وفي جميع المعاملات مع وجود فروقات طفيفة في قيم هذه الحبيبات فضلاً عن ظهور للمعدن المستطبة لاسيما المعدن المستطوب المنظم مایکا-سمکتایت عند الحيد 15.23 كما موضح في الشكل (11).

بينت النتائج الموضحة في الشكل (12) والعائد للأفق السطحي لبيدون هور السودة في قضاء الكحاء في ميسان وجود الحيد 14.03 انكسنروم لمعاملة التشبع بالمنغنيسيوم والجافة هوائيًا مع بقاءه ثابتًا في جميع المعاملات والذي يؤكّد وجود معدن الكلورايت المقاوم للحرارة Real chlorite نتيجة لعدم تأثيره بمعاملة التشبع بالاثيلين كلايكول حيث ارتفعت قيمة الحيد بشكل طفيف إلى 15.09 انكسنروم ، كما لوحظ وجود الحيد 12.03 انكسنروم مع بقاءه ثابتًا في جميع المعاملات وهو دليل على وجود المعدن المستطوب مایکا-سمکتایت ، وأنَّ وجود هذا المعدن دلالة على حالة التجوية التي تتعرض لها معدن المایکا نتيجة الظروف الرطبة وكثافة الغطاء النبات وبما يضيفه من مواد عضوية تساهُم في نشاط عملية التجوية فضلاً عن دور المعدن العضوية المعدنية في التحولات التي تحصل لمعدن الطين ضمن هذه البيئة كما بيّنت النتائج وجود الحيد 10.03 انكسنروم في معاملة التشبع بالمنغنيسيوم والجافة هوائيًا مع بقاءه ثابتًا في جميع المعاملات ، مما يشير وجود معدن المایکا في هذا الأفق، إضافة إلى ظهور الحيد الثاني المعدن المایکا عند الحيد 5.00 انكسنروم وبشدة ضعيفة وبقاءه ثابتًا في المعاملات جميعها مما يؤكّد وجود معدن البايونايت Biotite في هذا الأفق (Dixon وآخرون، 1977) ، وهذه النتائج تتفق مع العديد من نتائج الدراسات التي أجريت على الترب العراقيّة (العميدي ، 2021 ، الشحماني ، 2020 ، شهد ، 2021)، إذ اكّدت تلك الدراسات أنَّ معدن البايونايت هو السائد من بين معدن المایکا في الترب العراقيّة.

أظهرت النتائج وجود الحيد 7.10 وبقاءه ثابتًا في مما يدل على وجود معدن الكلورايت بحبيبه الثاني ، أمّا في الأفق تحت السطحي فقد بيّنت فحوصات الأشعة السينية في الشكل (13) لهذا البيدون عدم وجود الحيد 14 انكسنروم واختفاء تماماً من جميع المعاملات وظهر بدل عنه الحيد 12.81 انكسنروم والعائد للمعدن المستطوب مایکا-سمکتایت مما يدل على أنَّ هذه البيئة والظروف المحيطة بها ساهمت في تجوية معدن المایکا محولة إياها إلى معدن 2:1 والتي تعد فيه المعدن المستطوب كمرحلة وسطية من عملية التجوية بدليل بقاء الحيد 12.81 انكسنروم ثابتًا في جميع المعاملات عدا التمدد إلى 15.85 والذي يعود إلى تمدد طبقات السمکتایت ضمن تركيب المعدن المستطوب مایکا-سمکتایت وهذا ماتم ملاحظته في بيدون هور التربة الذي تم توضيّه في الفقرة السابقة وأنَّ هذا التشابه في التوزيع المعدني يرجع إلى تشابه الظروف البيئية المحيطة والتي تعكس واقع الترب المغموره والمستنقعات التي تخضع لعملية التغدق المرافق لوجود نسبة عالية من المادة العضوية وحالة البزل الرديء التي ساعدت على نوع من التحولات المعدنية من معدن المایکا باتجاه معدن 2:1 المتعدد ، من جهة أخرى ظهر الحيد 9.43 انكسنروم والعائد لمعدن المایکا والذي يقي ثابتًا في جميع المعاملات وازدادت حدته في معاملات التشبع بالبوتاسيوم والتسمين ، كذلك أظهرت النتائج وجود الحيد 6.76 انكسنروم وبقاءه ثابتًا في جميع المعاملات دلالة على كونه الحيد الثاني لمعدن الكلورايت فضلاً عن ظهور الحيد الثاني لمعدن البايونايت 4.83 وبشدة ضعيفة مع بقاءه ثابتًا في جميع المعاملات وهذه النتائج جائت متقدمة مع العديد من الدراسات على ترب الأهوار منها (الحسيني ، 2005 ، Kareem et al., 2021).



الشكل (12) منحنيات حبيبات الأشعة السينية لبيدون هور السودة للأفق تحت السطحي



الشكل (13) منحنيات حيود الأشعة السينية لبيدون هور السودة للأفق تحت السطحي

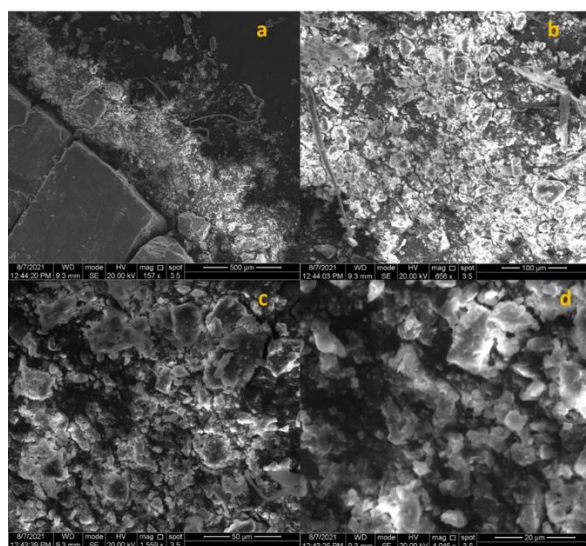
فحوصات المجهر الإلكتروني الماسح (Scanning Electron Microscope (SEM))

من أجل إعطاء صورة واضحة ودقيقة عن طبيعة المعدنات العضوية-المعدنية في التربة وربطها مع نتائج فحوصات الأشعة السينية تم فحص العينات الطينية باستخدام المجهر الإلكتروني الماسح في جامعة الكوفة حيث تم استحصل عينات من مفصول الطين من بيدونات ترب (الدلجم والترابه والعظيم وأم نعاج) وتم فحصها بحالتين ، الأولى بوجود المادة العضوية والحالة الثانية بعد إزالة المواد العضوية درست الخصائص الشكلية لدقائق المعدن والمعقدات باستخدام المجهر الإلكتروني الماسح SEM ، مستهدفين بشئ من التفصيل دراسة منطقى السطوح Surfaces والحواف Edges حيث أنَّ معدن المايكا امتاز بنوعين من التجوية بما تجوية الطبقات layer weathering والتي تحدث في الدقائق صغيرة الحجم والبيئات ذات التجوية العالية وتخص منطقة السطوح، والنوع الثاني تجوية الحواف Edge weathering والتي تحدث في الدقائق الكبيرة الحجم وضمن البيئات ضعيفة التجوية وتخص منطقة الحواف (Scott ، 1968 ; Huff ، 1972 ، Norrish ، 1973) ، وأنَّ معظم التغيرات في الخصائص الشكلية لمعدن المايكا هي نتاج هذين النوعين من التجوية، وكانت النتائج المتحصلة كالتالي :

بيدون تربة هور الدلجم :

في الشكل (14) صور المجهر الإلكتروني الماسح لبيدون هور الدلجم المزال منها المادة العضوية حيث اخذت عدة لقطات للعينة وبدرجات متفاوتة من الدقة واظهرت النتائج وجود معدن المايكا وبالشكل الصفائي flaky غير المنتظم والذي ظهر بشكل متھشم الحواف والطبقات وبسطح متشققة مما يشير إلى حصول عمليات تجوية واضحة لهذا المعدن مما جعل المعدن يظهر بهذا الشكل المتقاول في الحجم وهذا الاختلاف والذي ربما حصل بسبب ظروف التغدق المستمرة في بيئه الهور والتي ساعدت وساهمت في نشاط عملية التجوية لهذا المعدن والذي جانت نتائجه متوافقة مع فحوصات الأشعة السينية الحائدة التي أعطت حيودات غير ثابتة تراوحت من 9.45 إلى 10.21 انكستروم فضلاً عن ظهور المعدن المستطبق مايكا-سمكتايت دلالة على تعرض المعدن لعملية التحلل والتتجوية بدرجات متفاوتة بتأثير ظروف العدق وتراكم المواد العضوية بما تصفيه من احماض عضوية ومركبات فعالة قادرة على نخر هيكل المعدن الذي ظهر بهكل بلوري غير منتظم .

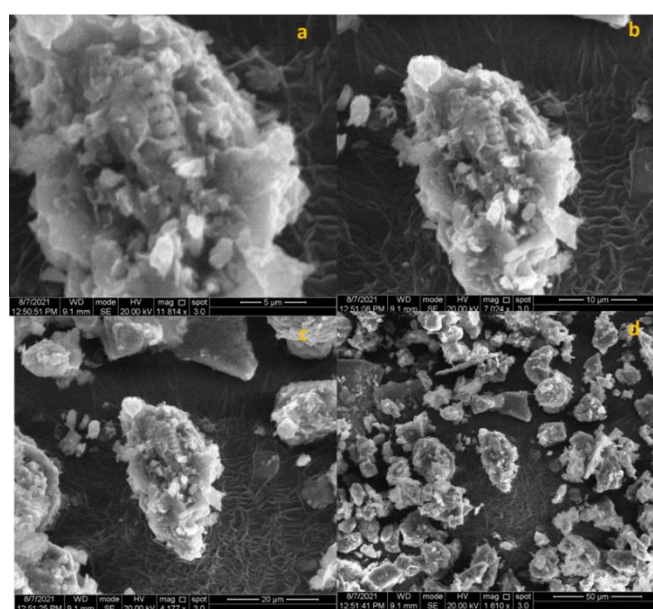
هذا التأثير يعود إلى الإختلاف في ميكانيكية التبادل الناجمة من تفتح دقائق المعدن ، وأنَّ تمدد وثنى وريقات المعدن ، التي تعطي الشد نتيجة لهذه العملية وما يعقبها من استنزاف أيون البوتاسيوم في الطبقات الداخلية وعند حواف المعدن وهذا ينفق مع ما بينه (Smith, Scol, 1967 و شهد ، 2021).



شكل (14) صور المجهر الإلكتروني الماسح للأفق التحت السطحي لب بدون هور الدلمج المزال منها المادة العضوية

كذلك بين الشكل ظهور معدن السمكتايت بشكل غيمة باهتة اللون دلالة على تأثير المعدن بعملية التجوية وتحوله باتجاه المعدن المستطبق مايكـا سـمـكـتاـيـت كما أنَّ حالة من التعاقب بين المناطقة الـباـهـتـةـ والـداـكـنـةـ لـمـعـادـنـ المـايـكاـ وـالـسـمـكـتاـيـتـ والتي ربما تكون بسبب عملية التجوية وتأثيره من ارتقادات وإنخفاضات على سطح المعدن والتي نتج عنها هذه المناطق الـباـهـتـةـ والـداـكـنـةـ وهذا يتفق مع Islam etal (2002) والذي بين أنَّ مـعـادـنـ المـايـكاـ تـبـدـيـ درـجـاتـ مـفـاـوـتـةـ مـنـ المـقاـوـمـةـ لـلـتجـوـيـةـ ،ـ فـيـ حـيـنـ تـقاـوـمـ مـنـاطـقـ أـخـرـىـ ،ـ مـاـ يـؤـدـيـ إـلـىـ ظـهـورـ مـنـاطـقـ يـطـلـقـ عـلـيـهـ مـنـاطـقـ إـلـاـخـاءـ وـالـخـلـعـ وـمـنـاطـقـ التـمـزـقـ ،ـ كـمـ يـؤـثـرـ حـجمـ دـقـيـقـةـ المـعـدـنـ فـيـ جـمـعـ مـجـمـلـ تـلـكـ الـعـمـلـيـاتـ ،ـ لـذـاـ ظـهـرـتـ تـلـكـ الـمـظـاـهـرـ الشـكـلـيـةـ عـلـىـ سـطـوـحـ دـقـائـقـ الـمـعـدـنـ صـغـيرـةـ الـحـجـمـ ،ـ إـذـ أـنـ حـجـمـ حـبـيـةـ مـعـدـنـ المـايـكاـ تـؤـثـرـ فـيـ عـمـلـيـةـ التجـوـيـةـ وـالـتـحـولـ ،ـ فـالـحـبـيـاتـ صـغـيرـةـ الـحـجـمـ تـحرـرـ كـمـيـاتـ أـكـبـرـ مـنـ أـيـوـنـ الـبـوـتـاـسـيـوـمـ مـنـ بـيـنـ طـبـقـاتـ الـدـاخـلـيـةـ أـنـاءـ عـمـلـيـةـ التجـوـيـةـ.

أما في العينات غير المزال منها المادة العضوية والموضحة في الشكل (15) فقد ظهرت دقائق المعدن بشكل عنقودي ومتجمع بشكل دقائق متراصة بسبب عملية التعقيـد Complexation التي تحصل نتيجة وجود المادة العضوية والتي ترتبط بواسطة المجاميع الوظيفية من خلال روابط مختلفة وبشكل متناسق وبالتالي تعمل هذه المعقـدـاتـ بـشـكـلـ أـكـثـرـ فـعـالـيـةـ فيـ تـجـوـيـةـ الـمـعـدـنـ لـذـكـ ظـهـرـتـ مـعـادـنـ السـمـكـتاـيـتـ وـكـذـلـكـ المـايـكاـ بـشـكـلـ محـطـمـ وـحاـويـ عـلـىـ الـعـدـيدـ مـنـ الـفـجـوـاتـ وـالـثـقـوبـ كـمـ ظـهـرـتـ المـادـةـ العـضـوـيـةـ بـشـكـلـ الـيـافـ أوـ سـلاـسـ مـتـقـطـعـةـ تـحـيطـ بـدـقـائـقـ الـمـعـدـنـ ،ـ مـنـ جـهـةـ أـخـرـىـ فـقـدـ تـطـابـقـ نـتـائـجـ الـمـجـهـرـ الـإـلـكـتـرـوـنـيـ الـمـاسـحـ مـعـ نـتـائـجـ الـأشـعـةـ السـيـنـيـةـ الـحـائـدةـ مـنـ خـلـالـ ظـهـورـ مـعـادـنـ المـايـكاـ وـالـسـمـكـتاـيـتـ ضـمـنـ الـعـيـنـاتـ المـفـحـوصـةـ بـالـمـجـهـرـ.

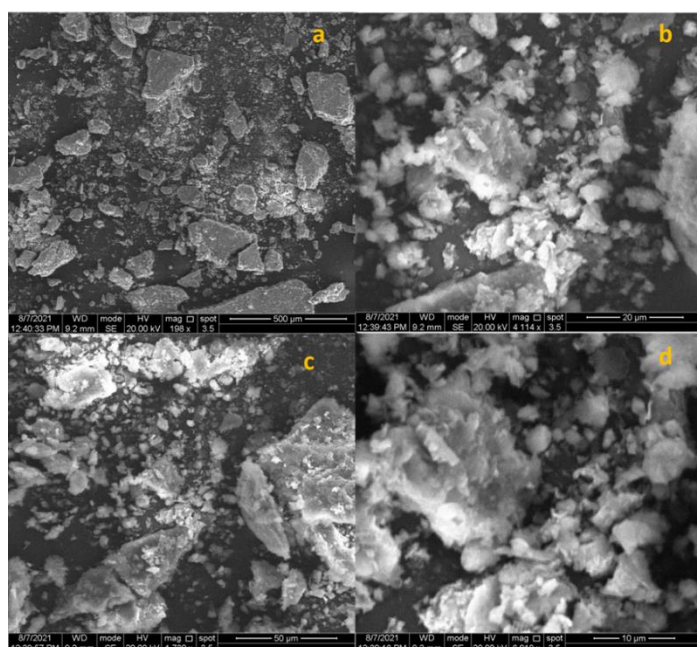


شكل (15) صور المجهر الإلكتروني الماسح للأفق التحت السطحي لبيدون هور الدلمج غير المزال منها المادة العضوية

بشكل عام يمكن اعتبار ترب بيدون هور الدلمج بأنها تمتاز بوجود معقدات عضوية -معدنية ساعدت بيئة التندق على تكونها وتداخلها مع مكونات التربة ولذلك ظهرت صور التجوية على دقائق المعادن من خلال التشققات والانفصال وكذلك تعقب المناطق الداكنة والبيضاء على سطوح المعادن ويمكن تمييز معادن المايكا بسهولة من خلال الصور في الشكل (15) وجائت النتائج متقدمة مع ماتوصل اليه شهد (2021) عند دراسته أحد حقول الشلب والتي تتسم أيضاً بتندق وغمر دائم بالماء مما يجعلها ظروفها مشابهة لتراب الأهوار.

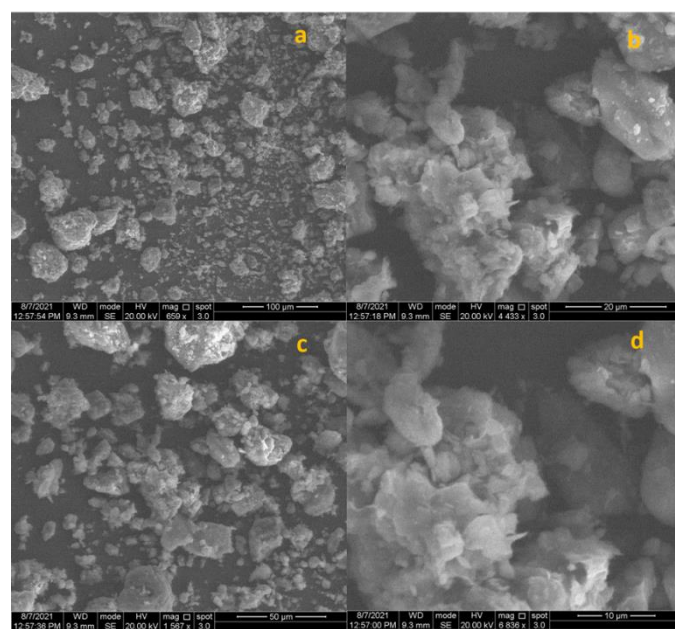
بيدون هور الترابة :

أظهرت صور المجهر الإلكتروني الماسح في الشكل (16) الخاص بالعينة المزال منها المادة العضوية لبيدون هور الترابة وجود حالة متقدمة من التجوية حصلت على دقائق معادن المايكا من خلال آثار التهشم الواضح على الدقائق وكذلك سيادة المعادن المستطبقة في هذا البيدون كما اظهرته نتائج الأشعة السينية الحادة والتي أكدت وجود المعادن المستطبقيين المتناظمين مايكا - سمكتايت ومايكا- كلورايت وتعزى شدة التجوية في هذا البيدون إلى حالة التندق المستمر وظروف الأختزال فضلاً عن الدور الكبير الذي تلعبه المادة العضوية في عملية التجوية بما تطلقه من مرکبات حامضية مختلفة وكذلك حالة التعقيد مع معادن الطين التي ينتج عنها تكوين معقدات عضوية-معدنية وهذا يتفق مع ما عرضه Feller ، (1999).



شكل (16) صور المجهر الإلكتروني الماسح للأفق التحت السطحي لبيدون هور الترابة المزال منها المادة العضوية

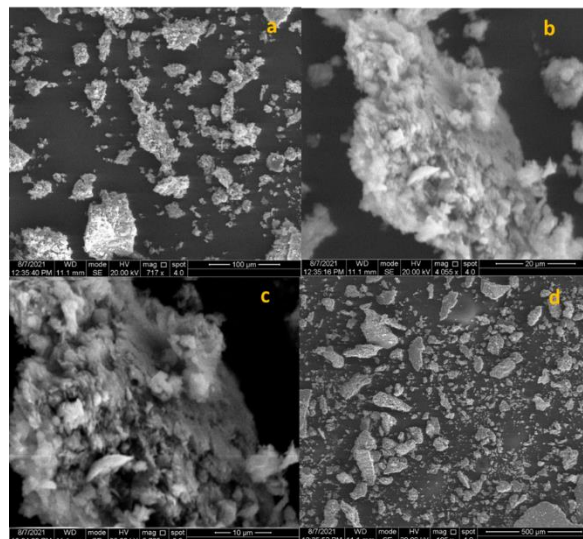
أما التربة غير المزال منها المادة العضوية لبيدون هور الترابة والموضحة في الشكل (17) فقد أظهرت الصور حالة التجمع الواضح للدقائق بشكل يشبه العناقيد فضلاً عن ملاحظة حالة التجوية الظاهرة على دقائق المعادن حيث يمكن ملاحظة مظاهر وصور التجوية على سطوح وحواف المعادن وظهرت هذه الدقائق بأشكال وأحجام متباعدة فضلاً عن ملاحظة حالة التقشر الواضحة لدقائق المعادن كما في الصورة (d) وكذلك ظهور المعادن باللون باهنة دلالة على شدة عملية التجوية كذلك ظهر معden الكاؤلينايت من هلال شكله السادسكيبيير الحجم ومن جهة أخرى بينت الصور أنَّ المعادن ظهرت بشكل أسفنجي spongy ناتج من تعرضها إلى عملية انتفاخ swelling أو تمدد expansion للطبقات الداخلية للمعدن، وأنَّ مظاهر الشكل هذه كانت مشابهة لتلك المظاهر التي كشف عنها عيسى والشيخلي (2001) في الترب العراقية وتنقسمة مع موجده Kretzschmar وأخرون (1997) ، إذ بينوا أنَّ انتفاخ المعادن وظهوره بشكل أسفنجي يدل على أنه في حالة وسطية من التجوية اعتماداً على مسلسل التغيرات المظهرية Morphological changes لسطح معادن المايكا إلى عمليات التجوية المختلفة مبنيةً بحدوث تجزئة أو تشقق splitting ثم التمدد والانتفاخ بعدها ظهور الأحاديد Rutiles على السطح cracking أو الشروخ منتوية crumbling بالتفتت التام للمعدن.



شكل (17) صور المجهر الإلكتروني الماسح للأفق التحت السطحي لبيدون هور التربة غير المزال منها المادة العضوية.

بيدون تربة العظيم :

يبين الشكل (18) والخاص ببيدون تربة العظيم المزال منها المادة العضوية وجود دقائق بأشكال مختلفة الحجم والتي تمثل مراحل مختلفة من التجوية سواء على السطح أو على الحفافات وكذلك وجود حالة تعاقب للمناطق المنخفضة والمرتفعة ، والتي تمثل ظهور حالة الأخدود على تلك السطوح ، الأمر الذي يشير إلى تقدم حالة التجوية في بعض من أجزاء سطح المعدن في تلك المناطق. إذ يمكن القول أنًّ بعضًا من دقائق المعدن تعد ضمن المراحل الوسطية من التجوية وأنًّ البعض الآخر ضمن مراحلها النهائية وأنًّ تواجد هكذا حالة ولنفس النموذج يمكن أنًّ يعود سببه إلى تباين أحجام دقائق معدن المايaka ، ذات الدقائق الصغيرة الحجم التي تكون أكثر تأثيراً بعمليات التجوية مقارنة بالدقائق كبيرة الحجم والواقعة تحت نفس الظروف أظهرت الصورة وجود عدد من الفراغات Holes مختلفة الحجم ، وأنًّ قسمًا منها منخفض Shallow hole والأخر ضحل Diphole إعتماداً على شدة التجوية التي تعرض لها سطح المعدن ، إذ يحتمل أن تكون هذه الثقوب ناتجة عن وجود شوائب من بقايا حيوانية أو نباتية متجردة أثناء تخلص المعدن ، والتي قد تترك فراغاً بعد تحللها كلياً بتأثير عمليات التجوية المختلفة ، وقد تكون ناتجة من عدم نقاوة المعدن بوجود شوائب من معادن أخرى تختلف في عمرها الجيولوجي ودرجة مقاومتها للتتجوية والتي أطلق عليها Walker and Price (1963) مصطلح Fission particles tracks .

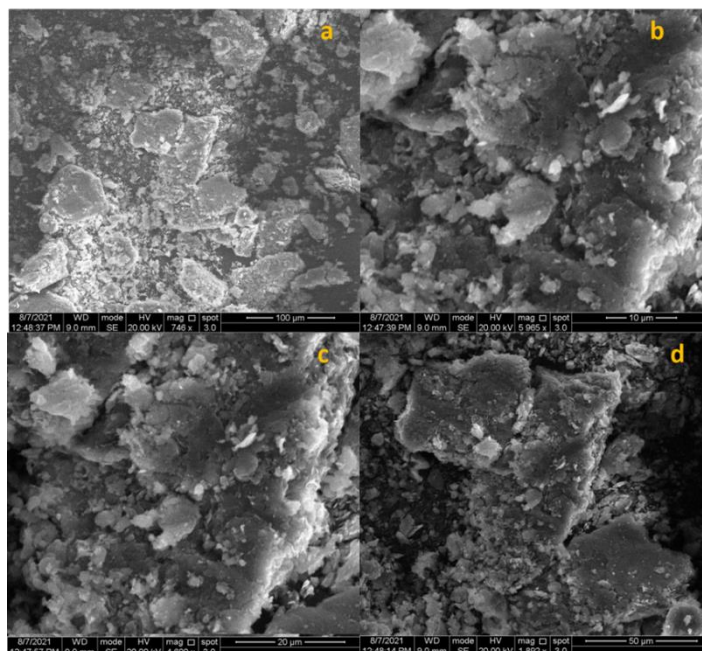


شكل (18) صور المجهر الإلكتروني الماسح للأفق التحت السطحي لبيدون هور العظيم المزال منها المادة العضوية.

بيانات تربة نعاج:

يبين الشكل (19) صور المجهر الإلكتروني الماسح لعينة تربة هور أم نعاج المزال منها المادة العضوية والتي يمكن من خلالها ملاحظة شكل المعden الذي بدأ عليه اثار التجوية والتقدش والانفصال لبعض الطبقات كما يمكن ملاحظة الحفر والاخاذيد المنتشرة على سطح الدقيقة في حين أن قسمًا من الطبقات المنشورة قد تعرضت حواها إلى تجوية وذلك من خلال ظهور الحواف بلون باهت وأمكان تمييزها عن منطقة السطح ، وأن ظهور اللون الباهت لتلك الحواف هو بفعل عملية التبييض أو القصر Bleaching الناتجة من إزاحة الأيونات في الطبقات الداخلية لمعادن المايكا بفعل عملية التجوية ، والتي على الأرجح أن تكون ايونات البوتاسيوم وال الحديد.

من خلال الصور أعلاه يمكن ملاحظة دور المادة العضوية في عملية التجوية والتاثير على الصفات المورفولوجية للمعدن وهذا ما يعطينا تأكيد عن دور المعدقات العضوية -المعدنية في عملية نشوء وتطور التربة من خلال ماتتركه من اثار واضحة على الدفائق المعدنية وما تجدر الإشارة اليه هو أن فحوصات المجهر الإلكتروني الماسح قد أكد بشكل لا يقبل الشك تواجد معادن السmekait والممايكا والكلورايت وبعض المعادن المستطبقة التي تداخل مع الغرويات العضوية من خلال تكوين معقدات نشطة تعمل بشكل متداخل مع الغرويات العضوية (الاطيان والأكاسيد).



يبين الشكل (19) صور المجهر الإلكتروني لعينة بيدون تربة هور أم نعاج المزال منها المادة العضوية

تحليل الارتباط:

تشير النتائج في الجدول (3) إلى قيم الارتباط الخطي Pearson بين نسبة المادة العضوية ونسبة الطين من جهة وبين نسبة المادة العضوية وأكاسيد الحديد من جهة أخرى ، وقد أظهرت النتائج أن هناك تباين في قيم الارتباط بين البيدونات المختلفة وكانت جميع الارتباطات سلبية ماعدا الارتباط بين المادة العضوية والطين في بيدون هور الدلمج والارتباط بين المادة العضوية وأكاسيد الحديد في بيدون هور عظيم 1 والتي كانت موجبة ، وكان أعلى ارتباط سلبي تم الحصول عليه بين المادة العضوية ونسبة مقصول الطين في بيدون هور السودة وبلغ -0.99- بينما أدناه في بيدون هور السناف وببلغ -0.27- أما بين المادة العضوية وأكاسيد الحديد فكان أعلى ارتباط تم الحصول عليه في بيدون هور السودة أيضاً وبلغ -0.987- أما أدناه فكان في بيدون هور الدلمج وبلغ -0.66-، وأن هذا التباين يشير بوضوح إلى أن هناك علاقة عكسية بين نسبة الطين والمادة العضوية من جهة ونسبة أكاسيد الحديد والمادة العضوية من جهة أخرى في معظم بيدونات الدراسة ، بشكل عام أن الترب ذات النسبة العالية من المادة العضوية تمتاز بكونها ذات نسبة عالية من معادن الطين نتيجة قدرة هذه الترب على تكوين التجمعات وبالتالي المحافظة على محتوى جيد من المادة العضوية (Mills and Fey, 2004; Miles et al., 2008; Saiz et al., 2012). ، الا أنه في دراستنا كانت العلاقة عكسية في معظم البيدونات والتي ربما يكون السبب ذلك إلى تعاقب عمليات التجفيف والترطيب التي طالت الترب في هذه الأهوار مما أدى إلى تحطم التجمعات من جهة وتكون تكوين معقدات عضوية معدنية بين الطين والمادة العضوية أو بين الطين وأكاسيد الحديد حيث أنه

نتيجة إزالة المادة العضوية أثناء الفصل سبب زيادة نسبة الطين بحيث أنَّ الترب ذات المحتوى العالى من المادة العضوية أدنى.

جدول (3) معامل Pearson بين بيدونات ترب

النوعية × اكاسيد الحديد	المادة العضوية × الطين	اسم البيدون	سجلت نسبة طين
-0.66318	0.762045	الملج	ارتباط التربة
0.680402	-0.46355	عظيم	غرويات الدراسة
-0.92772	-0.27063	السناف	
-0.93206	-0.51379	أم نعاج	
-0.9867	-0.97952	الترابة	
-0.98783	0.999918	السودة	

الاستنتاجات:

- 1- تميز ترب الأهوار بمحتوها العالى من الغرويات العضوية والمعدنية .
- 2- بسبب المحتوى العالى من الغرويات العضوية والمعدنية يحصل تداخل بينهما مكوناً معقدات عضوية معدنية
- 3- اختلفت بيدونات ترب الدراسة في ما بينها من ناحية الصفات الفизيائية والكيميائية والمعدنية.
- 4- ارتفاع نسب المادة العضوية المتقلبة في بيدونات ترب الدراسة .
- 5- أظهرت النتائج وجود العديد من المعادن الطينية في ترب الدراسة حيث وجدت معادن الكلورايت والمايكا والسمكتايت(المونتموريونايت) ولوحظ وجود عدد من المعادن المستطبلقة مايكا - سمكتايت ومايكا-كلورايت،
- 6- أظهرت فحوصات المجهر الإلكتروني الماسح دور المادة العضوية في عملية التجوية والتأثير على الصفات المورفولوجية للمعدن وهذا ما يعطينا تأكيد عن دور المعقدات العضوية -المعدنية في عملية نشوء وتطور التربة من خلال ماتتركه من اثار واضحة على الدقائق المعدنية .
- 7- أظهرت النتائج وجود تطابق بالتحليل المعدني بين المجهر الإلكتروني الماسح والأشعة السينية الحائدة

المصادر

الجاف، بارزان عمر احمد محمد (2006). طبيعة تكوين وجود المعادن المستطبلقة والعوامل المؤثرة فيها في بعض الترب العراقية. اطروحة دكتوراه. كلية الزراعة. جامعة بغداد. جمهورية العراق.

الحسيني، اياد كاظم علي (2005). دراسة صفات بعض ترب هور الحمار المجففة جنوب العراق رسالة ماجستير . كلية الزراعة ، جامعة بغداد.

العميدي ، سارة حسين امين (2021). بيدولوجية ومعدنية بعض ترب المنخفضات في هضبة النجف الصحراوية ، رسالة ماجستير ، كلية الزراعة ، جامعة الكوفة.

القيسي، علي عيسى حسين (2017). تأثير تربة رايزوسفير بعض الأشجار في تجوية المايكا وجاهزية البوتاسيوم ، اطروحة دكتوراه ، كلية الزراعة، جامعة بغداد.

الشحماني ، ليث سليم سلمان داود (2020). تغير توزيع معادن تربات نهر الغراف في محافظتي واسط وذي قار ، اطروحة دكتوراه ، كلية الزراعة، جامعة بغداد.

الشمرى، عواطف حميد دعوش(2020). تأثير مصادر الترسيب في محتوى وتوزيع دقائق مفصول الطين والخصائص التبادلية لبعض ترب محافظتي واسط وميسان. اطروحة دكتوراه ، كلية الزراعة، جامعة بغداد.

الضاحي ، هاشم حنين كريم (2009). تأثير الغطاء النباتي في تجوية معادن المايكا في بعض ترب غابات شمالي العراق ، اطروحة دكتوراه ، كلية الزراعة ، جامعة بغداد.

الوطيفي، عباس صبر سروان (2012). تأثير تحولات معدن المونتموريونايت إلى الكلورايت في الخصائص الفيزيائية و الكيميائية لبعض الترب العراقية. اطروحة دكتوراه. كلية الزراعة.

عبد الله، مايكيل بيرونا (1982). رسوبية وبنتروغرافية وجيوكيميائية وهيدروكيميائية الرواسب الحديثة لهور الحمار في جنوب العراق. رسالة ماجستير، كلية العلوم، جامعة بغداد – الجمهورية العراقية.

شهد، رعد فرحان (2021) . استخدام معادلة مركز الاجتذاب Center of gravity والخصائص المعدنية في تقييم حالة البوتاسيوم في بعض ترب الفرات الأوسط، اطروحة دكتوراه ، كلية الزراعة ، جامعة المثنى.

AL-Saadi, N. A.1977. Preparation of method for quantitative determination of Chlorite, Kaolinite, Mica and Montmorillonite In rock sample, J. of the Geological Soc. Of Iraq,1:19-27.

Baldock, J. A., & Skjemstad, J. O. (2000). Role of the soil matrix and minerals in protecting natural organic materials against biological attack. *Organic geochemistry*, 31(7-8), 697-710.

Bonnard, P., Basile-Doelsch, I., Balesdent, J., Masion, A., Borschneck, D., & Arrouays, D. (2012). Organic matter content and features related to associated mineral fractions in an acid, loamy soil. *European journal of soil science*, 63(5), 625-636.

Cahoon, D.R. & Reed, D. (1996). Relationships among salt marsh topography, hydroperiod and soil accretion in a Louisiana salt marsh. *Journal of Coastal Research*; 11: 357-369.

Clute, A. (1986). Methods of soil analysis: Part 1. *American Society of Agronomy and Soil Science Society of America, Madison, WI*.

Dent, D., Downing, E.J.B. & Rogaar, H. (1976). The changes in structure of marsh soils following drainage and arable cultivation. *Journal of Soil Science*; 27: 250-265.

Dixon, J. B., Weed S.B., Kittrick , J.A., Milford, M.H., and J. L. White (1977). Minerals in soil environment . *Soil Science Society of America . Madison Wisconsin , USA*.

Drever, J.I., (1997). The geochemistry of natural water, surface and groundwater environments (3rd ed.).*Prentice Hall, USA*, 436P.

Feller, C. (1999). Organo-mineral interactions in tropical soils-In search of" functional" organic matter pools: the particle-size fractionation approach. 3 *ENCONTRO BRASILEIRO DE SUBSTÂNCIAS HÚMICAS*.

- Huff, W.D. (1972).** Morphological effects on Illite as a result of potassium depletion, clays clay miner .20;295-301.
- Islam, Md., Stuart, R., Risto, A., and Vesa, P. (2002).** Mineralogical changes during intense chemical weathering of sedimentary rocks in Bangladesh. Journey. Of Asian Earth Sciences 20, Pp.889-901.
- Jackson, M.L., 1979.** Soil chemical analysis advanced course. 2nd ed Madison, Wisconsin.
- Jones, E., & Singh, B. (2014).** Organo-mineral interactions in contrasting soils under natural vegetation. *Frontiers in Environmental Science*, 2, 2.
- Kadhim, H. A., 1976.** Comparative mineralogical study of some alluvial and Brown soils in Iraq. M. sc. Thesis. Univ. of Baghdad.
- Kareem, H. H., Farhan, L. J., & Sahar, A. A. (2021).** Study of the state of development of some Iraqi dried marshes soils by using mineral indicators. *Plant Archives*, 21(1), 1538-1543.
- Kretzschmar, R., Robarge, W. P., Amoozegar, A., & Vepraskas, M. J. (1997).** Biotite alteration to halloysite and kaolinite in soil-saprolite profiles developed from mica schist and granite gneiss. *Geoderma*, 75(3-4), 155-170.
- Miles, N., Meyer, J. H., Van Antwerpen, R., 2008.** Soil organic matter data: What do they mean? Proc. S. Afr. Sugar Technol. Assoc. 81, 324-332.
- Mills, A. J., Fey, M. V., 2004.** Declining soil quality in South Africa: effects of land use on soil organic matter and surface crusting. S. Afr. J. Plant Soil. 21, 388-398.
- Nettleton, W. O., Nelson, R. E. and Flach, K. W. 1973.** Formation of mica in surface horizon of dry land soils. *Soil Sci. Soc. Am. Proc.* 37: 473-480.
- Norrish, K. (1973).** Factors in the weathering of mica to vermiculite.
- Page, A.L., , R.H. Miller, and D.R. Kenney. 1982.** Methods of Soil Analysis Part (2). 2nd ed. Agronomy 9 Am. Soc. Agron. Madison, Wisconsin.
- Price, P. B., & Walker, R. M. (1963).** Fossil tracks of charged particles in mica and the age of minerals. *Journal of Geophysical Research*, 68(16), 4847-4862.
- Saiz, G., Lloyd, J., Bird, M. I., Domingues, T., Schrodte, F., Schwarz, M., Feldpausch, T. R., Veenendaal, E., Djagbletey, G., Hien, F., Compaore, H., Diallo, A., (2012).** Variation soil carbon stocks and their determinants across a precipitation gradient in West Africa. *Glob. Change Biol.* 18, 1670-1683.
- Scott, A. D., and Smith, S. J. (1967).** Visible changes in macro mica particles that occur with potassium depletion. In Clays and clay minerals- Clay minerals conf.15th.pittsburgh. Pa., 1966.proc, London and New York.Pcrgamon Press (Internet Ser. Mons. Earth Sci., V.27). p.357-373.
- Soil Survey Staff, 1993. Soil survey manual, USDA.Handbook No.18, US Government Printing Office, Washington, DC.20402.**
- Tarzi, J. G., & Protz, R. (1978).** The occurrence of lepidocrocite in two well-drained Ontario soils. *Clays and Clay Minerals*, 26(6), 448-451.

